

рактеризовать основные отличия в изменении типа реализации водородной связи и ее энталпии образования для ароматических полиамидов.

Всесоюзный научно-исследовательский
и проектный институт искусственного волокна
Всесоюзный научно-исследовательский
институт синтетического волокна

Поступила в редакцию
11 X 1978

ЛИТЕРАТУРА

1. П. М. Пахомов, С. А. Баранов, Ж. прикл. спектроскопии, 29, 1978.
2. С. Г. Ефимова, М. В. Шаблыгин, М. М. Иовлева, С. П. Папков, Высокомолек. соед., Б19, 69, 1977.
3. М. В. Шаблыгин, Кандидатская диссертация, Москва, НИФХИ им. Л. Я. Карпова, 1968.
4. А. А. Беляев, Е. П. Краснов, А. Е. Степанян, Высокомолек. соед., А20, 386, 1978.

УДК 541.64:532.72

ПРОНИЦАЕМОСТЬ, ДИФФУЗИЯ И РАСТВОРИМОСТЬ *n*-АЛКАНОВ В ПОЛИМЕРАХ

Ямпольский Ю. П., Дургарьян С. Г., Наметкин Н. С.

В связи с необходимостью углубления представлений о механизме переноса различных низкомолекулярных веществ через полимерные материалы возрастают интерес к изучению влияния строения и природы молекулы пенетранта на коэффициенты проницаемости P , диффузии D и растворимости σ в полимерах [1—8]. Если ранее обстоятельные исследования зависимости P , D и σ от строения и свойств углеводородов имелись только для полиэтилена [9—10] и натурального каучука [11, 12], то в последние годы круг изученных полимеров расширился [1—3, 6—8] и тем самым создались предпосылки для обобщений.

В данной работе измерены коэффициенты проницаемости и диффузии, а по ним вычислены коэффициенты растворимости *n*-алканов C_1 — C_4 и некоторых других углеводородов в поливинилтриметилсилане (ПВТМС), поли-4-метилпентене-1 (ПМП), полидиметилсилоксане (ПДМС) и ПС.

ПВТМС, полученный анионной полимеризацией, имел молекулярную массу $1,5 \cdot 10^6$ и плотность $0,89 \text{ г}/\text{см}^3$. Мембранны ПВТМС толщиной 50—200 $\mu\text{м}$ были отлиты из растворов в толуоле и доведены до постоянного веса вакуумированием при 60°C в течение 2—3 недель. Мембранны ПМП ($M=2,5 \cdot 10^5$) были получены экструзией из расплава при 240 — 290°C и имели плотность $0,84 \text{ г}/\text{см}^3$ и толщину 60 $\mu\text{м}$. Образец ПДМС марки RP-60 имел плотность $1,18 \text{ г}/\text{см}^3$, толщину 1 мм и содержал около 10% наполнителя SiO_2 . Присутствие таких количеств наполнителя в ПДМС, согласно [2], не должно существенно влиять на коэффициенты диффузии и проницаемости. Мембрана аморфного атактического ПС имела плотность $0,95 \text{ г}/\text{см}^3$ и толщину 25 $\mu\text{м}$.

Измерения проницаемости проводили масс-спектрометрическим методом на приборе МИ-4309 при температуре 22°C и давлении пенетранта в пределах 50—500 тор для углеводородов C_1 — C_3 и 20—100 тор для C_4 . Значения D определяли по методу Дэйнеса — Баррера [12], а в некоторых случаях — по нестационарным участкам интегральной кривой проницаемости. В указанных выше интервалах давлений значения P и D остаются постоянными. Коэффициенты растворимости определяли динамическим методом, т. е. по формуле

$$\sigma = P/D \quad (1)$$

Ранее было показано, что σ для углеводородов C_1 — C_2 в ПВТМС близки при определении их динамическим и статическим методами [7]. Полученные значения P , D и σ приведены в таблице.

Один из возможных подходов к выявлению факторов, влияющих на скорость диффузии, и тем самым к установлению механизма переноса низкомолекулярных веществ в полимерах является построение корреляций, связывающих P , D и σ с теми или иными константами диффузантов. Так, предлагалось строить различные линейные корреляции $\lg \sigma$ от приведенного параметра Леннарда — Джонса [9], температуры кипения T_k [13, 14], критической температуры T_{kp} [13, 14], приведенной температуры T_{kp}/T [10] или ее квадрата [10]. Коэффициент диффузии связывали с молекулярной массой [6, 8, 15] или с числом атомов углерода в молекуле диффузанта [7]. При построении таких корреляций иногда пытаются

Коэффициенты проницаемости ($\text{см}^3\text{см}/\text{см}^2\text{сек}\cdot\text{атм}$), диффузии ($\text{см}^2/\text{сек}$) и растворимости ($\text{см}^3/\text{см}^3\cdot\text{атм}$) углеводородов в полимерах при 22°C

| Углеводород | ПВТМС | | | ПДМС | | | ПМП | | | ПС | | |
|-----------------------------|-------------------------------------|---------------------|------------------|----------------|----------------|----------|----------------|----------------|----------|----------------|------------------------|------------------|
| | $P \cdot 10^7$ | $D \cdot 10^7$ | σ | $P \cdot 10^6$ | $D \cdot 10^6$ | σ | $P \cdot 10^7$ | $D \cdot 10^7$ | σ | $P \cdot 10^7$ | $D \cdot 10^9$ | σ |
| CH_4 | 1,0 | 1,0 | 1,0 | 6,8 | 11,3 | 0,6 | 0,82 | — | — | 0,037 | 5,8 | 0,64 |
| C_2H_6 | 0,57 | 0,13 | 4,4 | 18,7 | 6,2 | 3,2 | 0,55 | 1,28 | 2,0 | 0,016 | 0,34 | 4,7 |
| C_2H_4 | 0,91 | 0,27 | 3,4 | 15,5 | 7,5 | 2,1 | 0,74 | 0,52 | 1,4 | 0,020 | 1,4 | 1,4 |
| C_2H_2 | 1,8 | 0,78 | 2,3 | 19,8 | 9,3 | 2,1 | 1,2 | — | — | 0,093 | 2,5 | 3,7 |
| C_3H_8 | 0,27 | 0,0013 ^B | 39 ^B | 32,0 | 4,2 | 7,7 | 0,18 | 0,037 | 4,7 | 0,0098 | 0,01—0,03 ^F | 6,0 ^B |
| C_3H_6 | 1,1 | 0,03 | 37 | 24,6 | 5,8 | 4,1 | 0,40 | 0,14 | 2,9 | — | — | — |
| $n\text{-C}_4\text{H}_{10}$ | 0,09 ^A —0,2 ^B | 0,0007 ^B | 126 ^B | 70,0 | 5,0 | 14 | 1,15 | — | — | — | — | — |

a) Определен косвенно по D и σ .

b) Определен по проницаемости асимметричных мембран из ПВТМС с толщиной диффузионного слоя 0,2 и 1 мкм.

c) Данные измерений кинетики и термодинамики сорбции [7].

d) Определен по нестационарному участку интегральной кривой Дейнеса — Баррера.

проверить их универсальность, анализируя данные для возможно большего числа молекул, различающихся геометрией, химической природой, полярностью и другими особенностями, от которых могут зависеть D , σ и P . В результате достоверность предсказаний, основанных на подобных корреляциях, может быть не слишком велика. Другой подход состоит в том, чтобы зафиксировав структурный фактор, т. е. в пределах одного гомологического ряда проследить закономерности изменения D , σ и P , стремясь при этом исключить влияние таких факторов, как полярность, наличие гетероатомов и кратных связей, степень разветвленности и т. д. В данной работе в качестве диффузантов были изучены углеводороды ряда n -алканов. Для них имеются и литературные данные о P , D и σ , более подробные, чем для соединений других классов, хотя и относящиеся почти исключительно к полимерам при температурах выше их температуры стеклования T_c .

Представлялось целесообразным связать σ и D с одной и той же характеристикой молекулы диффузанта с тем, чтобы на основе полученных корреляций можно было предсказывать коэффициент проницаемости в рядах гомологов. В настоящей работе измеренные и взятые из литературы значения P , D и σ для различных полимеров сопоставлены с числом атомов углерода n в молекуле низших алканов. На рис. 1 показана корреляция $\lg \sigma$ — для ПВТМС, ПДМС, ПМП, ПС, ПЭ [9], НК [11, 12] и этилцеллюлозы (ЭЦ) [15] при комнатной температуре. Из рисунка видно, что для стеклообразных полимеров (ПВТМС, ПС, ЭЦ) характерны более высокие значения σ , чем для полимеров, которые при комнатной температуре находятся выше или вблизи T_c . Этот вывод не зависит от метода определения σ , так как он основан на значениях σ , измеренных как динамическим, так и статическим (объемным и весовым) методами. Можно отме-

тить, что для полимеров, имеющих T_c ниже комнатной, зависимость σ от n имеет вид степенной функции

$$\sigma = \sigma_0 n^b, \quad (2)$$

тогда как для ПВТМС σ экспоненциально зависит от n .

На рис. 2 показана зависимость $\lg D$ от n при комнатной температуре для ПВТМС, ПДМС, ПМП, ПЭ [9], НК [11], полибисфенолкарбоната (ПК) [3]. Видно, что коэффициент диффузии низших алканов в указан-

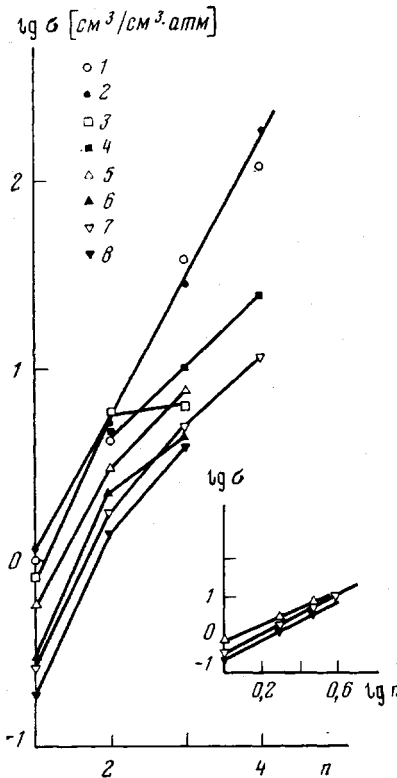


Рис. 1

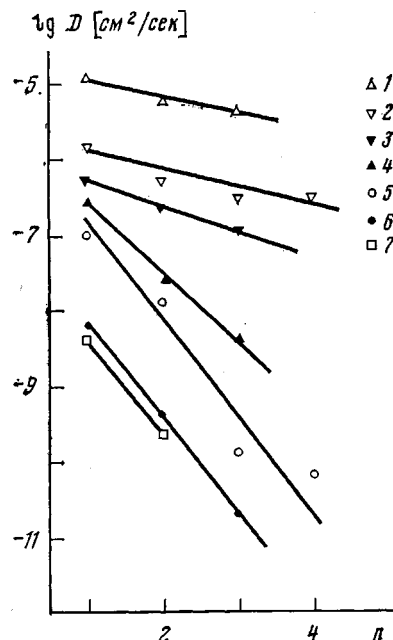


Рис. 2

1, 2 — ПВТМС (1 — данные динамического метода, 2 — весового метода [7]), 3 — ПС, 4 — ЭЦ [15], 5 — ПДМС, 6 — ПМП (данная работа и [1]), 7 — НК [11], 8 — ПЭ [9].

Рис. 2. Зависимость $\lg D$ от n :

1 — ПДМС (данная работа), 2 — НК [11], 3 — ПЭ [9], 4 — ПМП, 5 — ПВТМС, 6 — ПК (55°) [3], 7 — ПС

ных полимерах в пределах экспериментального разброса описывается уравнением

$$D = D_0 e^{-an}, \quad (3)$$

где $a > 0$ — коэффициент, зависящий от природы полимера.

Значения параметра b и коэффициента a , входящих в уравнения (2) и (3) соответственно, приведены ниже.

| Полимер | ПДМС | НК | ПЭ | ПМП | ПС | ПК | ПВТМС |
|-----------------------|------|---------|------|-----|-----|------|-------|
| $T_c, ^\circ\text{K}$ | 153 | 203 | 250 | 302 | 353 | 423 | 440 |
| a | 0,5 | 0,5—0,8 | 0,75 | 2,1 | 2,8 | 2,85 | 3,0 |
| b | 2,3 | 3,1 | 2,7 | 2,3 | — | — | — |

Видно, что значения a возрастают с увеличением температуры стеклования полимера.

В работах [6, 8, 15] предлагалась иная зависимость D от n или молекулярной массы n -алканов

$$D = D_0' n^{-\alpha}, \quad (4)$$

где $\alpha > 0$. Мы проанализировали выполнимость указанной зависимости, используя те же значения D . Обе зависимости ((3) и (4)) характеризуются примерно одинаковым разбросом. В принципе экспоненту и степенную функцию можно было бы различить, если бы имелись данные о D в доста-

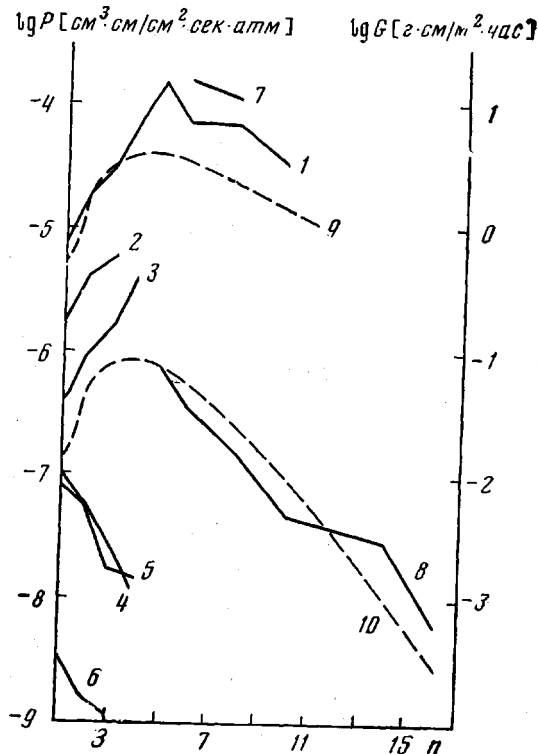


Рис. 3. Зависимость коэффициентов проницаемости $\lg P$ и $\lg G$ от n

Газопроницаемость: 1 — ПДМС [16]; 2 — ПЭ [9]; 3 — НК [11]; 4 — ПВТМС; 5 — ПМП; 6 — ПС. Испарение через мембранны: 7 — ПЭ [17]; 8 — нитрильный каучук [18]. Расчет: 9 — ПДМС ($a=0,5$; $b=-2,3$); 10 — нитрильный каучук ($a=0,8$, $b=3,0$)

точно широком диапазоне n для одного полимера. Поскольку получение подобных данных связано с экспериментальными трудностями, для уточнения вида зависимости D от n целесообразно привлечь результаты по проницаемости n -алканов в различных полимерах.

На рис. 3 показаны зависимости коэффициентов проницаемости от n для различных полимеров. Данные относятся как к газо- и паропроницаемости P , так и к процессу испарения через мембранны G . Анализ приведенных на рисунке данных позволяет проследить следующую закономерность. Коэффициент проницаемости через полимеры в высокоеластичном состоянии, т. е. через полимеры, для которых $T_c < T_{\text{эксп}}$ (ПДМС, ПЭ, НК) возрастает с увеличением n при малых n ($1 < n < 4$) и убывает при $n > 5-6$ (единственное исключение — данные работы [6]). Коэффициент проницаемости через полимеры в стеклообразном состоянии (т. е. при $T_c > T_{\text{эксп}}$) (ПВТМС, ПМП, ПС) убывает с увеличением n уже для начальных членов гомологического ряда.

С помощью найденных корреляций для D и σ (рис. 1 и 2) рассчитаем вид кривой $P(n)$ во всем интервале значений n . Зависимость $P(n)$ для по-

лимеров в высокоэластичном состоянии должна иметь следующий вид:

$$P = An^b e^{-an} \quad (5)$$

При $b > 1$ и $a > 0$ эта функция имеет максимум при $n = b/a$ и две точки перегиба при $n = (b \pm \sqrt{b})/a$. Используя приведенные значения a и b , можно найти координаты максимума n_{\max} и точек перегиба $n_{\text{пер}}$ для коэффициента проницаемости через различные полимеры, что и представлено ниже.

| Полимер | ПДМС | ПЭ | НК | ПМП |
|------------------|---------|---------|----------|---------|
| n_{\max} | 4,5 | 3,6 | 4-6 | 1 |
| $n_{\text{пер}}$ | 1,5/7,5 | 1,4/5,8 | 2-3/6-10 | 0,4/1,8 |

Как видим, координаты максимума $P(n)$ не противоречат экспериментальным данным о проницаемости. Определив коэффициент A в уравнении (5) по значению P , измеренному для некоторого n , можно построить кривую $P = P(n)$ и сравнить ее с экспериментальной. Результат такого сравнения показан на рис. 3 для случая проницаемости через ПДМС. Расчетная кривая 9 основана на измеренных в данной работе параметрах A , b и a , а экспериментальные данные взяты из работы [16]. Координаты максимума, точек перегиба, а также весь ход расчетной кривой неплохо воспроизводят экспериментальную кривую. Не выпадает из указанной зависимости и ПМП, который при комнатной температуре находится хотя и выше T_c , но вблизи области стеклования. В область реальных значений $n=1-4$ попадает лишь координата точки перегиба, который можно отметить и на экспериментальной кривой.

Для ПВТМС зависимость $P(n)$ имеет вид

$$P = A e^{(c-a)n}, \quad (6)$$

где $c = 2,303 \lg \sigma_0/n = 0,75$, как следует из данных рис. 1. Кривая $P(n)$ не имеет экстремумов и значения P монотонно уменьшаются с ростом n (рис. 3).

Кривые $P(n)$ и $G(n)$, как можно видеть из рис. 3, имеют аналогичный ход. Это связано с тем, что хотя $G(n)$ не является функцией D и σ , но определяется формулой

$$G = \bar{D} C, \quad (7)$$

где $\bar{D} = \frac{1}{C} \int_0^{C_1} D(C) dC$ – средний коэффициент диффузии, а C_1 – раствори-

мость жидкого углеводорода или его насыщенных паров в полимере, в $\text{г}/\text{см}^3$, величина \bar{D} , как и D , экспоненциально зависит от n [18], и ход кривой $G(n)$ при $n > n_{\max}$ определяется в основном зависимостью $\bar{D}(n)$. Действительно, как следует из рис. 3, ход кривой $G(n)$ в области больших n также удается передать зависимостью вида (5), причем $G(n)$ при больших n слабо зависит от выбора b .

Легко видеть, что если бы для D выполнялась корреляция (4), то для $P(n)$ была бы справедлива формула

$$P = \sigma_0 D_0' n^{b-a}, \quad (8)$$

не содержащая экстремумов в зависимости от n .

Таким образом, при наличии экспоненциальной зависимости D от n удается предсказать ход изменения коэффициентов проницаемости в ряду n -алканов. Разный вид функциональной зависимости σ для высокоэластиков и стеклообразных полимеров (например, ПВТМС), а также изменение показателя степени a с изменением T_c свидетельствуют о различиях механизма переноса через полимеры в высокоэластичном и стеклообразном

состоянии. Обращает на себя внимание факт существенно большей растворимости углеводородов в стеклообразных полимерах по сравнению с полимерами в высокоэластичном состоянии.

Численные значения коэффициента диффузии одного и того же углеводорода в разных полимерах, находящихся в стеклообразном состоянии, могут варьироваться в пределах нескольких десятичных порядков, приближаясь у ПМП и ПВТМС к большим значениям D , характерным для высокоэластиков.

Институт нефтехимического синтеза
им. А. В. Топчиева АН СССР

Поступила в редакцию
11 X 1978

ЛИТЕРАТУРА

1. *H. Tschamler, P. Pesta, D. Rudorfer, Mitt. Chem. Forschungsinst. Wirtsch. Österr.*, 27, 25, 89, 209, 1973; 28, 19, 1974.
2. А. Э. Крейтус, Диффузионные явления в полимерах, ч. 1, Труды III Всесоюзной конференции, Изд-во РПИ, Рига, 1977, стр. 152.
3. *S. P. Chen, Polymer Preprints*, 15, 77, 1974.
4. *C. K. Rhee, J. D. Ferry, L. J. Fetters, J. Appl. Polymer Sci.*, 21, 783, 1977.
5. *J. P. Brun, J. Appl. Polymer Sci.*, 18, 1663, 1974.
6. В. В. Архангельский, А. Е. Чалых, В. М. Рудой, В. А. Огарев, Высокомолек. соед., Б19, 891, 1977.
7. Ю. И. Ямпольский, Н. С. Наметкин, С. Г. Дургарьян, В. В. Волков, Э. Г. Новицкий, Диффузионные явления в полимерах, ч. 1, Труды III Всесоюзной конференции, Изд-во РПИ, Рига, 1977, стр. 207.
8. Б. И. Голиков, А. Е. Чалых, то же, стр. 115.
9. *A. S. Michaels, H. J. Bixler, J. Polymer Sci.*, 50, 393, 1961.
10. *S. A. Stern, J. T. Mullhaupt, P. J. Garies, AIChE.J.*, 15, 64, 1969.
11. *R. M. Barrer, G. Skirrow, J. Polymer Sci.*, 3, 549, 564, 1948.
12. *C. A. Рейтлингер, Проницаемость полимерных материалов, «Химия», 1974.*
13. *G. J. Amerongen, Rubber Chem. and Technol.*, 37, 1065, 1964.
14. *M. Kawakami, S. Kagawa, Bull. Chem. Soc. Japan*, 51, 75, 1978.
15. *P. Y. Hsieh, J. Appl. Polymer Sci.*, 7, 1743, 1963.
16. *W. L. Robb, Ann. N. Y. Acad. Sci.*, 146, Art 1, 1968.
17. А. А. Эльберт, Ю. И. Дытнерский, Н. Ф. Кононов, Ж. прикл. химии, 41, 1790, 1968.
18. *A. M. Bergault, M. Mollard, Rev. Inst. franç. petrole*, 30, 803, 1975.

УДК 541.64:547.458.81

ИЗУЧЕНИЕ ТЕМПЕРАТУРНЫХ ПЕРЕХОДОВ ЦЕЛЛЮЛОЗЫ В ЖИДКИХ СИСТЕМАХ

Иоелович М. А., Каиминь И. Ф.

Целлюлоза в процессе выделения, переработки, модификации и эксплуатации подвергается действию различных полярных жидкых сред, которые могут оказывать на нее пластифицирующее действие. Это приводит к набуханию [1], уменьшению модуля упругости, увеличению деформации [2], ускорению установления сорбционного равновесия [3], понижению температурных переходов [4, 5] и изменению ряда других свойств.

Важным способом определения пластифицирующей способности низкомолекулярных жидкостей является изучение их влияния на температурные переходы целлюлозы. Выяснению этого вопроса посвящены работы [6, 7]. Однако при этом возникают затруднения, связанные с тем, что у целлюлозы имеется несколько температурных переходов, смещающихся при пластификации низкомолекулярными веществами в область более низких температур [5]. Поэтому изучение температурных переходов не-